

А. В. БАБАЕВА и М. А. МОСЯГИНА

УЛЬТРАФИОЛЕТОВЫЕ СПЕКТРЫ ПОГЛОЩЕНИЯ КОМПЛЕКСНЫХ СОЕДИНЕНИЙ ДВУХВАЛЕНТИГО ПАЛЛАДИЯ

За исключением $K_2[PdCl_4]$ и $K_2[Pd(CN)_4]$, спектры растворов которых изучались Ганчем [1], Самюэлем [2] и одним из нас [3], в литературе отсутствуют данные по абсорбции света комплексными соединениями палладия. Поэтому представлялось небезынтересным исследование для выяснения влияния природы внутрисферных заместителей на характер спектра абсорбции растворов комплексных соединений двухвалентного палладия, с одной стороны, и сопоставление этих данных с результатами исследования светопоглощения аналогичных соединений платины, — с другой.

Применив установку Шейбе с сектором и использовав в качестве осветителя дугу между железными электродами, мы получили спектры поглощения растворов комплексных соединений палладия в ультрафиолетовой области.

Исследованы были на светопоглощение синтезированные нами же по известным методикам $[Pd(NH_3)_4]Cl_2 \cdot H_2O$, $K_2[Pd(NO_2)_4]$, $K_2[PdCl_4]$, $K_2[Pd(NCS)_4]$, $Na_2[Pd(C_2O_4)_2] \cdot 2H_2O$ и $[Pd(NH_3)_2Cl_2]$.

1. $[Pd(NH_3)_4]Cl_2 \cdot H_2O$. Тетраминпалладохлорид устойчив в водном растворе, и в спектре его раствора (0.1—0.02 M) имеется одна полоса абсорбции с максимумом при $295 \text{ m}\mu$ ($\lg \epsilon = 2.29$).

2. $K_2[Pd(NO_2)_4]$. Тетранитропалладоат калия исследовался в присутствии нескольких капель раствора азотистокислого калия. Кривая поглощения $K_2[Pd(NO_2)_4]$ представлена широкой полосой с максимумом при $252 \text{ m}\mu$ ($\lg \epsilon = 3.94$).

3. $K_2[PdCl_4]$. Тетрахлоропалладоат калия, как уже было упомянуто, исследовался на светопоглощение Ганчем [1]. По его данным, в спектре абсорбции этого соединения имеется одна полоса с максимумом, лежащим между 453 и $445 \text{ m}\mu$. Самюэль [2] нашел в спектре раствора K_2PdCl_4 три полосы. Одним из нас [3] для $(NH_4)_2[PdCl_4]$ в области длин волн от 550 до $220 \text{ m}\mu$ были найдены две полосы.

В связи с настоящей работой был исследован вновь раствор аммонийной соли тетрахлоропалладоата (0.002—0.001 M), слегка подкисленный соляной кислотой. Полученные данные совпали с ранее приведенными нами. Одна полоса характеризуется максимумом при $424 \text{ m}\mu$ ($\lg \epsilon = 2.28$) и другая при $302 \text{ m}\mu$ ($\lg \epsilon = 2.72$).

4. $K_2[Pd(NCS)_4]$. Тетрагидрокарбонатопалладоат калия, как и выше приведенные ацидокомплексы, подвержен гидролизу в разбавленных растворах, поэтому добавление раствора роданистого калия (одновременно к исследуемому раствору и растворителю) делает результаты воспроизведими во времени. Спектр абсорбции раствора этой соли (0.01—0.0005 M)

состоит из широкой полосы с максимумом при $307\text{m}\mu$ ($\lg \epsilon = 4.37$) и ветви кривой, круто поднимающейся в область малых длин волн.

5. $\text{Na}_2[\text{Pd}(\text{C}_2\text{O}_4)_2] \cdot 2\text{H}_2\text{O}$. Диоксалатопалладоат натрия исследован нами недавно [4] в виде 0.01—0.005 М растворов в присутствии небольшого количества оксалата калия. В спектре комплексного оксалата палладия имеется широкая полоса с максимумом при $380\text{ m}\mu$ ($\lg \epsilon = 2.08$).

6. $[\text{Pd}(\text{NH}_3)_2\text{Cl}_2]$. Палладозаммин в водном растворе подвергается заметному гидролизу; поэтому исследовались растворы 0.001—0.0005 М, подкисленные соляной кислотой. Кривая светопоглощения этого соединения, имеющего транс-конфигурацию, состоит в ультрафиолетовой области из одной широкой полосы с максимумом при $385\text{ m}\mu$ ($\lg \epsilon = 2.26$) и минимумом при $310\text{ m}\mu$ ($\lg \epsilon = 1.62$).

Таблица 1

| № п/п | Соединение | λ_1 в $\text{m}\mu$ | $\lg \epsilon_1$ | λ_2 в $\text{m}\mu$ | $\lg \epsilon_2$ |
|-------|--|-----------------------------|------------------|-----------------------------|------------------|
| 1 | $\text{K}_2[\text{Pd}(\text{NO}_2)_4]$ | 252 | 3.96 | — | — |
| 2 | $[\text{Pd}(\text{NH}_3)_4]\text{Cl}_2 \cdot \text{H}_2\text{O}$ | 295 | 2.28 | — | — |
| 3 | $\text{K}_2[\text{Pd}(\text{NCS})_4]$ | 307 | 4.14 | — | — |
| 4 | $\text{Na}_2[\text{Pd}(\text{C}_2\text{O}_4)_2] \cdot 2\text{H}_2\text{O}$ | 380 | 2.08 | — | — |
| 5 | $(\text{NH}_4)_2[\text{PdCl}_4]$ | 424 | 2.28 | 302 | 2.72 |
| 6 | $[\text{Pd}(\text{NH}_3)_2\text{Cl}_2]$ | 385 | 2.26 | — | — |

Кривые светопоглощения (фиг. 1) исследованных комплексных соединений двухвалентного палладия с разными по природе заместителями во внутренней сфере, но одинаковыми в пределах одного соединения, подтверждают подмеченные ранее правильности в смещении полос абсорбции в зависимости от величины поляризуемости внутрисферного заместителя. Чем больше поляризуемость заместителя, тем дальше в область длинных волн смещена полоса поглощения комплексного соединения при неизменном центральном атоме.

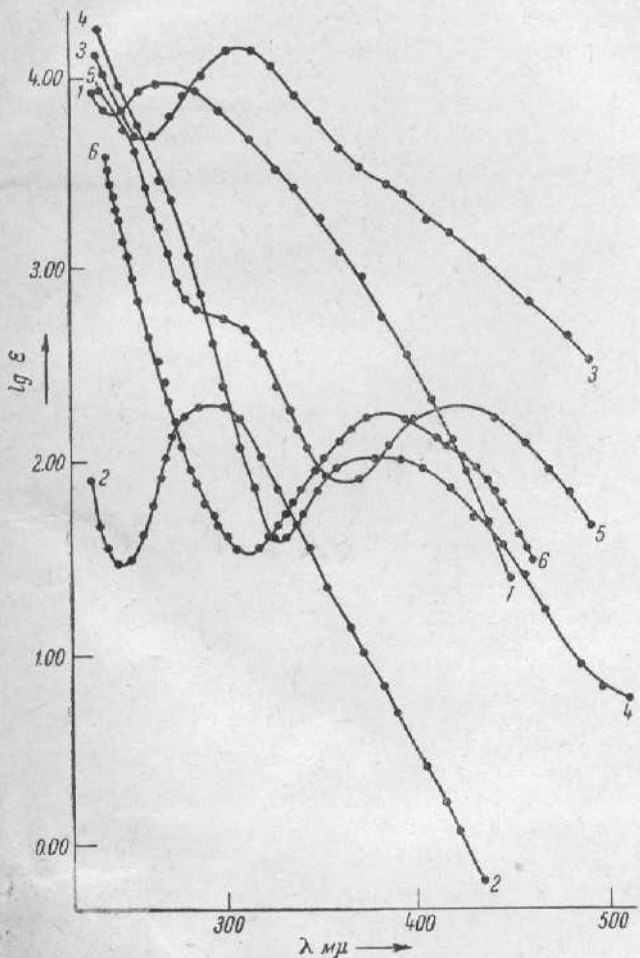
Сравнение положения максимумов абсорбционных полос вышеупомянутых соединений палладия с положением максимумов для ранее изученных нами [5] аналогичных соединений двухвалентной платины приводит к выводу, что за исключением нитритных соединений наблюдается правильность в смещении полос в область длинноволнового спектра при переходе от соединений платины к идентично построенным соединениям палладия.

Таблица 2

| Соединение | λ_1 в $\text{m}\mu$ | $\lg \epsilon_1$ | λ_2 в $\text{m}\mu$ | $\lg \epsilon_2$ | λ_3 в $\text{m}\mu$ | $\lg \epsilon_3$ |
|--|-----------------------------|------------------|-----------------------------|------------------|-----------------------------|------------------|
| $[\text{Pt}(\text{NH}_3)_4]\text{Cl}_2 \cdot \text{H}_2\text{O}$ | — | — | 282 | 1.53 | — | — |
| $[\text{Pd}(\text{NH}_3)_4]\text{Cl}_2 \cdot \text{H}_2\text{O}$ | — | — | 295 | 2.28 | — | — |
| $\text{K}_2[\text{Pt}(\text{NCS})_4]$ | 360 | 3.73 | 288 | 4.34 | — | — |
| $\text{K}_2[\text{Pd}(\text{NCS})_4]$ | (392) | (3.44) | — | 4.17 | — | — |
| $\text{K}_2[\text{Pt}(\text{C}_2\text{O}_4)_2] \cdot 2\text{H}_2\text{O}$ | — | — | 280 | 3.58 | — | — |
| $\text{Na}_2[\text{Pd}(\text{C}_2\text{O}_4)_2] \cdot 2\text{H}_2\text{O}$ | — | — | 380 | 2.08 | — | — |
| $\text{K}_2[\text{PtCl}_4]$ | 470 | 1.22 | 392 | 1.72 | 328 | 1.91 |
| $(\text{NH}_4)_2[\text{PdCl}_4]$ | — | — | 424 | 2.28 | 302 | 2.72 |
| $\text{K}_2[\text{Pt}(\text{NO}_2)_4]$ | — | — | 313 | (2.06) | — | — |
| $\text{K}_2[\text{Pd}(\text{NO}_2)_4]$ | — | — | 252 | 3.96 | — | — |

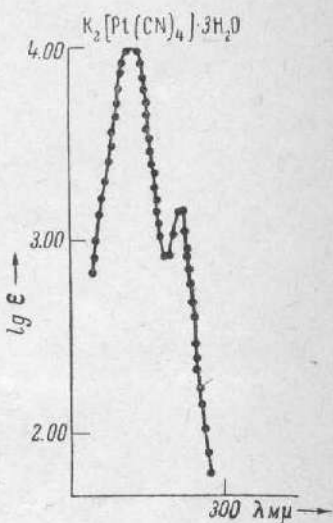
Отступления, наблюдаемые у нитритных соединений платины и палладия, имеют место и у цианидов платины и палладия, как это следует из работы Самюэля [6], изучавшего спектры их растворов.

| Соединение | λ_1 в $m\mu$ | λ_2 в $m\mu$ | λ_3 в $m\mu$ | λ_4 в $m\mu$ |
|------------------|----------------------|----------------------|----------------------|----------------------|
| $K_2 [Pt(CN)_4]$ | 295 | 279.5 | 252 | 243 |
| $K_2 [Pd(CN)_4]$ | (286) | (274) | 248 | 239 |



Фиг. 1

- 1 — $K_2 [Pd(NO_2)_4]$ 4 — $Na_2 [Pd(C_2O_4)_2] \cdot 2H_2O$
 2 — $[Pd(NH_3)_4]Cl_2 \cdot H_2O$ 5 — $(NH_3)_2 [PdCl_4]$
 3 — $K_2 [Pd(NCS)_4]$ 6 — $[Pd(NH_3)_2 Cl_2]$



Фиг. 2

Пользуемся случаем указать, что спектр поглощения водного раствора тетрацианоплатоата калия $K_2 [Pt(CN)_4]$ получен также и нами. В ультрафиолетовой области мы обнаружили только две хорошо выявленные полосы с четкими максимумами $\lambda_1=279.5\text{ m}\mu$ ($lg \epsilon_1=3.17$) и $\lambda_2=255\text{ m}\mu$ ($lg \epsilon=4.0$). Никаких намеков на иные максимумы на кривых поглощения нами не замечено (фиг. 2).

ВЫВОДЫ

1. Исследованы спектры поглощения в ультрафиолетовой области растворов комплексных соединений двухвалентного палладия: $[Pd(NH_3)_4]Cl_2 \cdot H_2O$, $K_2[Pd(NO_2)_4]$, $K_2[Pd(NCS)_4]$, $Na_2[Pd(C_2O_4)_2] \cdot 2H_2O$, $(NH_4)_2[PdCl_4]$, $[Pd(NH_3)_2Cl_2]$.

2. Положение полос поглощения в спектре растворов этих соединений укладывается в спектрохимический ряд, построенный в согласии с величинами поляризуемости внутрисферных заместителей.

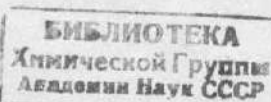
3. За исключением тетранитропалладоата кривые абсорбции света палладиевых соединений смешены в область длинноволнового конца спектра по сравнению с полосами аналогичных соединений платины.

4. Получен спектр поглощения $K_2[Pt(CN)_4] \cdot 3H_2O$, имеющий в ультрафиолетовой области лишь два максимума, а не четыре, как это следует из работы Самюэля.

Поступило в редакцию
31 января 1949 г.

ЛИТЕРАТУРА

1. A. Hantsch. Ber. 41, 1216 (1908).
2. R. Samuel a. A. R. R. Despande. Z. f. Physik 80, 395 (1933).
3. А. В. Бабаева, Изв. АН СССР, ОХН, 171 (1943).
4. А. В. Бабаева и М. А. Мослягина. ДАН СССР 64, 823 (1949).
5. А. В. Бабаева. ДАН СССР 40, 70 (1943).
6. R. Samuel. Z. f. Physik 70, 43 (1931).



инв. № 5835

Печатается по постановлению Редакционно-издательского совета Академии Наук СССР

Редактор Издательства В. А. Рубенко

Технический редактор И. И. Карпов

Корректор Н. Н. Певцова

РИСО АН СССР № 3586. А—09186. Издат. № 2103. Тип. заказ № 2344. Подп. и печ. 23/IX 1949 г.

Формат бум. 70×108^{1/4}. Печ. л. 8^{1/4}+7 вилеек. Уч.-издат. 11,3. Тираж 1500.

2-я тип. Издательства Академии Наук СССР, Москва, Шубинский пер., д. 10

6!

О П Е Ч А Т К И

| <i>Стр.</i> | <i>Строка</i> | <i>Напечатано</i> | <i>Должно быть</i> |
|-------------|---------------|--------------------|--------------------------|
| 13 | 4 св. | диаграмм | диаграммы |
| 53 | 11 сн. | $\bar{x} x 0, 1/2$ | $\bar{x} \bar{x} 0, 1/2$ |
| 53 | 8 сн. | $P \frac{b_1}{mm}$ | $P \frac{b_2}{mm}$ |
| 82 | 14 сн. | амидодиамина | соли |
| 107 | 13 св. | Таблица | Таблица 6 |

Известия сектора платины ИОНХ, вып. 24